

составляет несколько десятков [1<sup>1</sup>], т. е. на порядок превышает это число для  $Cd_{1-x}Mn_xTe$ . Отсюда, следуя работе [3], можно заключить, что относительная величина температурного интервала  $\Delta T/T \sim Z^{-\frac{1}{2}}$  неэкспоненциальной релаксации в первой системе будет почти на порядок меньше, чем во второй, что и наблюдается в эксперименте.

Таким образом, экспериментально обнаруженная неэкспоненциальная релаксация намагниченности в спиновых и дипольных стеклах заметно выше температуры перехода  $T_g$ . Обнаружено, что при температурах выше  $T_g$  наблюдается заметное различие в поведении спиновых стекол с различными  $Z$  и типами беспорядка.

В заключение авторы выражают благодарность М. Ф. Фейгельману и Л. Б. Иоффе за плодотворное обсуждение.

### Л и т е р а т у р а

- [1] Muletta H. J. Appl. Phys., 1982, vol. 53, N 3, p. 2185—2190.
- [2] Raneria M., Setna J., Palmer R. Phys. Rev. Lett., 1985, vol. 54, N 12, p. 1321—1324.
- [3] Feigelman M. V., Ioffe L. B. J. Phys., 1986, vol. 47, N 3, p. 363—366.
- [4] Мягков А. В., Минаков А. А. Труды ИОФАН, 1986, т. 3, с. 142—149.
- [5] Galazka R. R., Nagata S., Keesom P. H. Phys. Rev. B, 1980, vol. 22, N 7, p. 3344—3355.
- [6] Шлиомис М. И. УФН, 1974, т. 112, № 3, с. 427—458.
- [7] Минаков А. А., Мягков А. В., Веселаго В. Г. Тез. докл. XVII Всес. конф. по ФМЯ. Донецк, 1985, с. 125—126.
- [8] Минаков А. А., Зайцев И. А., Мягков А. В., Веселаго В. Г. Изв. АН СССР. Сер. физ., 1987, т. 51, № 6, с. 1062—1066.
- [9] Minakov A. A., Myagkov A. V., Veselago V. G., Zaitsev I. A. Acta Phys. Polon., 1987, vol. A72, N 2, p. 245—247.
- [10] Зайцев И. А., Минаков А. А. Препринт ИОФАН СССР, № 54. М., 1986. 24 с.
- [11] Baltzer P. K., Robbins M., Woitowicz P. J. J. Phys. Chem. Sol., 1967, vol. 28, N 12, p. 2423—2427.

Институт общей физики  
АН СССР  
Москва

Поступило в Редакцию  
21 января 1988 г.

УДК 621.315.592

Физика твердого тела, том 30, в. 7, 1988  
*Solid State Physics, vol. 30, № 7, 1988*

### СПЕКТР ЗЕЛЕНОЙ ЛЮМИНЕСЦЕНЦИИ ZnSe

А. А. Бережная, П. Н. Занадворов, Ю. П. Максимов, Ю. А. Степанов

Спектр фотолюминесценции (ФЛ) селенида цинка долгое время является предметом интенсивных исследований, что связано с его широким практическим использованием. Спектры низкотемпературной экситонной и краевой ФЛ ZnSe надежно интерпретированы [1—3], чего нельзя сказать о широких полосах зелено-голубого, желтого и оранжево-красного свечения, хотя именно эти особенности спектров ФЛ в сильной степени связаны с примесным составом кристалла, нарушением его структуры и важны в ряде практических применений ZnSe.

В данной работе исследованы спектры низкотемпературной ФЛ с временным разрешением образцов поликристаллического ZnSe в области зеленого максимума 530—480 нм. Образцы были выращены методом вакуумной сублимации [4] и имели остаточное содержание примесей менее  $10^{18} \text{ см}^{-3}$ . Материал имел кубическую структуру и состоял из зерен размером 0.05—0.25 мм с преобладающей ориентацией вдоль оси (111).

Люминесценция образцов, помещенных в дюар с жидким азотом или гелием, возбуждалась импульсами азотного лазера ЛГИ-505 или импуль-

сами лазера на красителе, длина волны которого перестраивалась вблизи края поглощения ZnSe. Интенсивность света на поверхности образцов не превышала  $10^5$  и  $10^2$  Вт/см<sup>2</sup> в первом и втором случаях соответственно. Импульс ФЛ на выходе двойного монохроматора ДФС-12 принимался ФЭУ-79, который был нагружен на согласованный вход стробоскопического осциллографа С1-70-IV или импульсного вольтметра В9-5, подключенного к микроэВМ ДЗ-28, что позволяло автоматизировать процесс измерения спектральной и временной зависимости ФЛ. Переходная характеристика системы имела постоянную времени 7.6 нс, длительность строба была 0.5 нс. Спектры ФЛ с различными временными задержками относительно максимума лазерного импульса регистрировались также в аналоговом режиме самописцем, подключенным к выходу осциллографа.

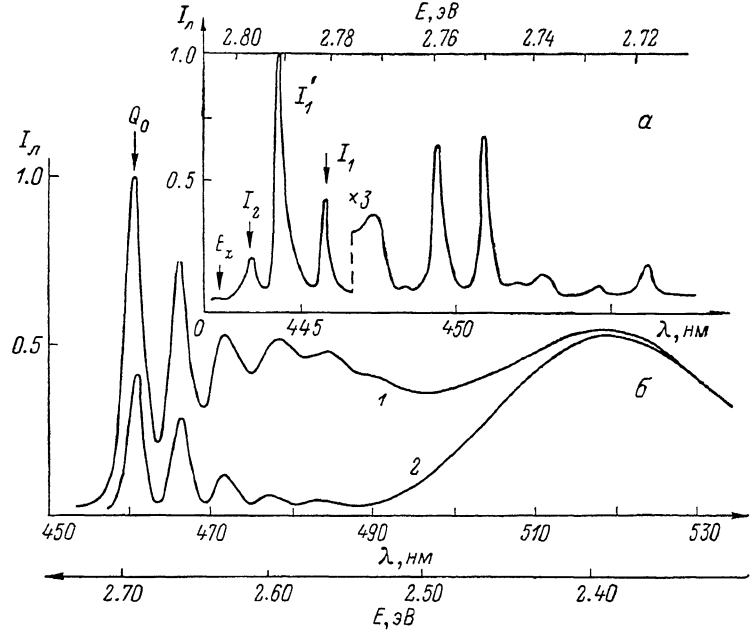


Рис. 1.

а — спектр ФЛ поликристаллического ZnSe при 4 К,  $\lambda_b=337$  нм,  $P_b=10^4$  Вт/см<sup>2</sup>,  $\tau=0$ .  $I_L$  — интенсивность люминесценции;  $E_x$  — энергетическое положение линии свободного экситона;  $I_1$ ,  $I'_1$ ,  $I_2$  — линии связанных экситонов; б — спектры ФЛ при задержках  $\tau=300$  (1) и 600 нс (2). 4 К.

При 4 К в спектрах ФЛ, полученных в момент максимума лазерного импульса (т. е. при задержке равной нулю:  $\tau=0$ ), в исследованных образцах ZnSe доминировали узкие линии связанных экситонов  $I_1$ ,  $I'_1$  и  $I_2$ , отвечающие  $V_{Zn}$ ,  $V_{Zn \rightarrow Li, Na}$  и  $V_{Se}$  соответственно, а также их более слабые одно- и двухфононные спутники (рис. 1, а). В спектрах ФЛ, полученных при задержках  $\tau > 100$  нс, доминируют линии донорно-акцепторных пар (ДАП), известные как  $Q_0$ -ДАП, отвечающие парам Al—Li ( $E_D+E_A=140$  мэВ), и их многократные фоновые повторения, расположенные на фоне менее интенсивной широкой полосы зеленой люминесценции (рис. 1, б).

При 77 К зеленая полоса в области 530—470 нм имела интенсивность, сравнимую с интенсивностью экситонной линии, а ее максимум был расположен в области 485 нм (рис. 2, а). Со временем (несколько месяцев хранения на воздухе) интенсивность зеленой люминесценции уменьшалась до такой степени, что прежде яркое зеленое свечение всего объема образца становилось почти незаметным. Однако после прогревания в вакууме при 600—700 °C в течение нескольких минут интенсивность зеленой люминесценции восстанавливалась до исходной. При изменении задержки от 0 до нескольких сотен нс форма полосы изменялась. При  $\tau > 100$  нс на спек-

тральной кривой выделялись два максимума:  $\lambda_1=485$  и  $\lambda_2=525$  нм (рис. 2, а).

На рис. 2, б приведен полученный нами спектр ФЛ при возбуждении образца перестраиваемым лазером в области 448—458 нм ( $\Delta\lambda=2$  нм). Видно, что в случае возбуждения светом с длиной волны  $\lambda_b=458$  нм в спектре ФЛ наблюдается только полоса  $\lambda_2$ , тогда как при  $\lambda_b=448$  нм спектр ФЛ в области 480—530 нм имеет вид такой же, как и в случае возбуждения азотным лазером —  $\lambda_b=337$  нм. Граница, при которой  $\lambda_1$  перестает возбуждаться, лежит в области 451—452 нм, что соответствует энергии 2.74 эВ.

Исследование кинетики полосы  $\lambda_2$  при возбуждении светом с  $\lambda_b=458$  нм дало постоянное для различных точек контура полосы время

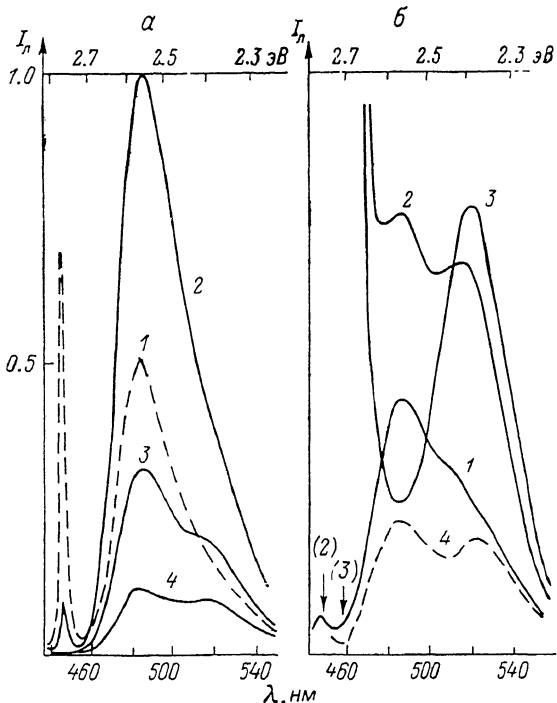


Рис. 2.

а — спектры ФЛ при 80 К и различных задержках. 1 —  $\tau=0$ , 2 — 20, 3 — 160, 4 — 320 нс. Прочие условия неизменны. Зеленая люминесценция достигает максимума на 30 нс позже экситонной; б — спектры ФЛ поликристаллического ZnSe при 80 К (1—3), регистрация в режиме постоянного тока. 1 —  $\lambda_b=337$ , 2 — 448, 3 — 458 нм, 4 — спектр катодолюминесценции ZnSe вблизи дислокации [6] при 30 К.

затухания 0.4 мкс. Остающаяся в этих условиях возбуждения в спектре ФЛ полоса  $\lambda_2$  с максимумом при 2.3 эВ достаточно хорошо известна и ее присутствие в спектре ФЛ кристаллов ZnSe связано с возбуждением глубоких акцепторных уровней — A-центров, расположенных на 0.38 эВ выше потолка валентной зоны ZnSe [5].

При исследовании кинетики полосы  $\lambda_1$  наилучшая аппроксимация достигалась при учете вклада двух экспонент с постоянными времени 0.14 и 0.2 мкс. Это обстоятельство представляется неслучайным, так как в спектре ФЛ в пределах полосы  $\lambda_1$  в ряде образцов также удавалось выделить два максимума при 472 и 485 нм соответственно.

В [6] исследованы спектры катодолюминесценции (КЛ) ZnSe и показано, что появление в спектре КЛ зеленой полосы связано с присутствием дислокаций в образце. Полученные в нашей работе результаты свидетельствуют в пользу такой интерпретации и позволяют предположить, что вблизи дислокаций происходит концентрация глубоких центров, ответственных за возникновение полос  $\lambda_1$  и  $\lambda_2$ .

## Л и т е р а т у р а

- [1] Dean P. T., Fitzpatrick B. T., Bhargava R. V. Phys. Rev., 1982, vol. 26, N 4, p. 2016—2035.
- [2] Иванова Г. Н., Недеогло Д. Д., Новиков Б. В., Талалаев В. Г. ФТТ, 1981, т. 23, № 9, с. 2693—2699.
- [3] Steiner T., Thewalt M. L. W., Bhargava R. N. Sol. St. Commun., 1985, vol. 56, N 11, p. 933—936.
- [4] Аварбэ Р. Г., Волков Н. В., Жилов Ю. Н. и др. Тез. докл. IV Всес. конф. «Оптика лазеров». Л., ГОИ, 1983. 237 с.
- [5] Thomas A. E., Russells G. T., Wood S. J. J. Phys. C, Sol. St. Phys., 1984, vol. 17, N 34, p. 6219—6228.
- [6] Myhailenko S., Batstone T. L., Hutchinson H. J., Steeds J. W. J. Phys. C. Sol. St. Phys., 1984, vol. 17, N 35, p. 6477—6492.

Ленинградский государственный  
университет им. А. А. Жданова  
Ленинград

Поступило в Редакцию  
21 октября 1987 г.  
В окончательной редакции  
27 января 1988 г.

УДК 548.0 : 537

Физика твердого тела, том 30, в. 7, 1988  
Solid State Physics, vol. 30, № 7, 1988

## УПРОЧЕНИЕ МОНОКРИСТАЛЛОВ LiF В ПОСТОЯННОМ МАГНИТНОМ ПОЛЕ

Н. И. Гершензон, Д. О. Зилпимиани, П. В. Манджгаладзе,  
О. А. Похотелов,

1. Влияние внешнего постоянного магнитного поля (МП) на процессы пластической деформации и разрушения ионных кристаллов мало изучено. Однако имеется ряд экспериментальных наблюдений, указывающих на возможность такого влияния. Ранее авторами было показано, что достаточно сильное МП ( $10^5$ — $10^6$  А/м) при определенных условиях может вызывать изменение направления прорастания трещины в монокристаллах LiF [1]. Трещина, распространяясь в плоскости скола  $\langle 100 \rangle$ , при входении в область сильного МП, силовые линии которого расположены параллельно плоскости трещины, меняет направление и переходит на плоскость скольжения  $\langle 110 \rangle$ . Мы объясняем это явление возникновением в устье трещины больших электрических полей из-за электризации поверхностей скола. В отсутствие МП поверхностный заряд и электрическое поле сравнительно быстро релаксируют. Но даже в этом случае электростатическая энергия составляет ощутимую долю полной энергии разрушения [2]. В достаточно сильных МП релаксация заряда может быть подавлена [1, 3], при этом энергия, необходимая для раздвижения бортов трещины, растет с ростом ее длины и может стать значительно больше энергии поверхностного натяжения. В этом случае влияние МП на дальнейшее разрушение будет определяющим.<sup>1</sup> В [4] прямыми наблюдениями показано воздействие постоянного МП на движение дислокаций в монокристаллах NaCl и LiF. Авторы [4] полагают, что этот эффект связан с уменьшением эффективной высоты рельефа Пайерлса или с изменением сил взаимодействия дислокаций с точечными дефектами. Результаты [1, 4]косвенно указывают на возможность влияния МП на прочностные свойства ионных монокристаллов.

2. Для проверки этой гипотезы нами были проведены испытания образцов монокристаллов LiF размеров  $(2.5\text{--}7)\times(2.5\text{--}7)\times(18\text{--}20)$  мм

<sup>1</sup> Поворот трещины авторы связывают с возникновением асимметрии из-за неоднородности МП (более подробно см. [1]).